

ساخت و مشخصه یابی نانوساختارهای مگنتوپلاسمونیکی $\text{Au}@\text{Co}@\text{Au}/\text{TiO}_2$ به عنوان حسگر گاز اتانول

مینا افشارنیا، مرتضی علیزاده اسکویی و سیده مهری حمیدی

آزمایشگاه مگنتوپلاسمونیک، پژوهشکده لیزر و پلاسمما، دانشگاه شهید بهشتی، تهران

چکیده - آشکارسازی آنالیتهای گازی، کاربردهای زیادی در فرآیندهای صنعتی، تشخیص تهدیدهای شیمیایی، نظارت بر محیط زیست و حوزه پزشکی دارد. از بین روش‌های حسگری موجود، مانند الکتروشیمیایی، رنگ‌سنگی، یونیزاسیون نوری و غیره، تشید پلاسمون سطحی یک روش قدرتمند برای بررسی برهم کنش‌های مرز فلز-دی الکتریک به شمار می‌رود. اخیراً از توکیب تشید پلاسمون سطحی و اثرات مگنتواپتیکی به منظور افزایش حساسیت استفاده می‌شود. تاکنون، برای حسگری اتانول، TiO_2 به عنوان لایه حسگری و چندلایه ای $\text{Au}/\text{Co}/\text{Au}$ به عنوان ساختار پایه به کار گرفته شده‌اند. در این مقاله نانوذرات TiO_2 به عنوان لایه حسگری در کنار نانوذرات تشید پلاسمون سطحی و تشید پلاسمون سطحی مگنتواپتیکی با هم مقایسه می‌شود.

کلید واژه- مگنتوپلاسمون، حسگر گاز، تشید پلاسمون سطحی موضعی، نانوذارت هسته-پوسته.

Fabrication and characterization of magnetoplasmonic nanostructures $\text{Au}@\text{Co}@\text{Au}/\text{TiO}_2$ as ethanol gas sensor

Mina Afsharnia, Morteza Alizade Oskuei, and Seyedeh Mehri Hamidi

¹Magneto-Plasmonic lab, Laser and Plasma Research Institute, Shahid Beheshti University, Tehran

Abstract- Applications of gas sensing can be found in industrial processes, detecting chemical hazards, environmental monitoring and medical diagnostics. Among different methods for gas sensing such as electrochemical, colorimetric, photo ionization detectors (PID), etc, Surface Plasmon Resonance (SPR) is a powerful analytical technique for monitoring interactions at a metal-dielectric interface. Very recently, magneto-optic effects and surface plasmon resonance (SPR) has been combined in order to enhance the sensitivity of gas sensors. For ethanol sensing TiO_2 thin films are used as sensing layers with $\text{Au}/\text{Co}/\text{Au}$ transducers. In this work we used TiO_2 nanoparticles, as sensing layers with $\text{Au}@\text{Co}@\text{Au}$ magnetoplasmonic system. Subsequently, we have a comparison between SPR and MOSPR performances.

Keywords: Magnetoplasmonics, Gas Sensor, LSPR, Core-Shell NPs.

این مقاله در صورتی دارای اعتبار است که در سایت www.opsi.ir قابل دسترسی باشد.

برای کاهش میرابی بدون از دست رفتن فعالیت مگنتوپاتیکی است که سیستم های مگنتوپلاسمونی را معرفی می کند. نمونه ای از این سیستم ها چندلایه های Au/Fe/Au [۴] و Au/Co/Au [۵] هستند که در حسگری مورد استفاده قرار می گیرند. در این مقاله برای اولین بار از ساختارهای هسته-پوسته ای Au@Co@Au به عنوان سیستم های مگنتوپلاسمونی استفاده شد. این سیستم با همراه شدن با نانوذرات TiO₂ در جهت حسگری بخارهای اتانول مورد استفاده قرار گرفت.

۲- تئوری

وقتی که پلاسمون سطحی به یک ذره با اندازه قابل مقایسه با طول موج نور، یک نانوذره، جفت می شود، الکترون های آزاد ذره در نوسانات جمعی شرکت می کنند که پلاسمون سطحی موضعی (LSP) نامیده می شوند. حسگری بر پایه LSPR اولین بار به منظور مطالعه سیستم های زیستی مورد استفاده قرار گرفت [۱, ۶]. LSPR به شدت به اتفاقاتی که روی سطح ذرات می افتد حساس است و حتی توانایی آشکارسازی غلظت های کمتر از یک تک لایه را هم دارد. اکسیدهای فلزی در کنار نانوذرات پلاسمونی در مقابل گازها و بخارها، پاسخ نشان می دهند. در این حسگرهای پلاسمونی، انتقال الکترون بین نانوذرات فلزی و اکسید فلزی که آنالیت روی آن نشسته است، با تغییر چگالی الکترون های آزاد باعث تغییر LSPR می شود. SPP ها به میدان مغناطیسی حساس نیستند و فقط به خواص هندسی و اپتیکی سیستم وابسته می باشند. از آن جا که برای کنترل SPP ها از میدان مغناطیسی خارجی استفاده شده است، جفت شدگی میدان مغناطیسی به بردار موج پلاسمون به دلیل وجود لایه فرومغناطیسی افزایش می یابد. تاثیر میدان مغناطیسی بر روی خواص مدهای SPP به جهت نسبی میدان مغناطیسی اعمالی و بردار موج SPP وابسته است. با اعمال میدان مغناطیسی تانسور دی الکتریک ماده همسانگرد غیر قطری شده و به صورت رابطه (۱) در می آید [۷]:

$$\boldsymbol{\epsilon} = \begin{pmatrix} \epsilon & a\Pi_z & a\Pi_y \\ -a\Pi_z & \epsilon & -a\Pi_x \\ -a\Pi_y & a\Pi_x & \epsilon \end{pmatrix} \quad (1)$$

که ϵ نشان دهنده مولفه های قطری تانسور است و $a\Pi$

۱- مقدمه

پلاسمون پلاریتون های سطحی (SPPs^۱، انتشار برانگیختگی های الکترومغناطیسی در مرز بین فلز- دی الکتریک هستند که در جهت عمود به صورت میرا محدود شده اند. این امواج سطحی الکترومغناطیسی ناشی از جفت شدگی میدان های الکترومغناطیسی با نوسانات پلاسمای الکترون رساناست. در دو دهه گذشته، تشدید پلاسمون سطحی (SPR^۲) از یک پدیده فیزیکی به یک ابزار اپتیکی تکامل یافته و به عنوان یک روش آنالیز حساس به سطح در حسگرهای زیستی و شیمیایی گوناگونی مورد استفاده قرار گرفته است [۲, ۱].

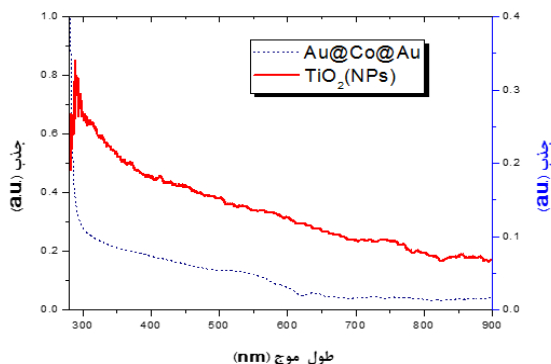
اگرچه آشکارسازی بر پایه SPR حساسیت بالایی را از خود نشان می دهد، اما برای آشکارسازی غلظت های پایین و مولکول های کوچک به اندازه کافی حساس نیست. بنابراین استفاده از تکنیک های مدولاسیون جهت بهبود عملکرد حسگری مطرح می شود. مدولاسیون بکار رفته در این مقاله بر پایه ترکیب اثرات مگنتوپاتیکی و SPR می باشد که تحت عنوان حسگرهای مبتنی بر تشدید پلاسمون سطحی مگنتوپاتیکی (MOSPR)^۳ شناخته می شوند [۳]. بنابراین عامل خارجی کنترل کننده خواص پلاسمون پلاریتون های سطحی، میدان مغناطیسی می باشد. این اثر با عناصر غیر قطری تانسور دی الکتریک که مسئول خواص مگنتوپاتیکی هستند و مقدارشان توسط میدان مغناطیسی اعمالی تعیین می شود، سروکار دارد. در فلزات نجیب مانند طلا که خواص پلاسمونی خوبی را از خود نشان می دهند، برای اینکه این عناصر به مقدار قابل توجهی بررسند، میدان مغناطیسی فوق العاده زیادی (ده ها تسل) باید اعمال شود. از طرف دیگر فلزات فرومغناطیس، فعالیت مگنتوپاتیکی قوی دارند که در علم پلاسمونیک فعال، عناصر مناسبی به حساب می آیند. اما این فلزات جذب بالایی دارند که موجب می شود تشدید پلاسمونی در آن ها پهنه بوده و افت انتشاری بالایی داشته باشند. ترکیب فلزات نجیب و فرومغناطیس روش مناسبی

¹ Surface Plasmon Polaritons

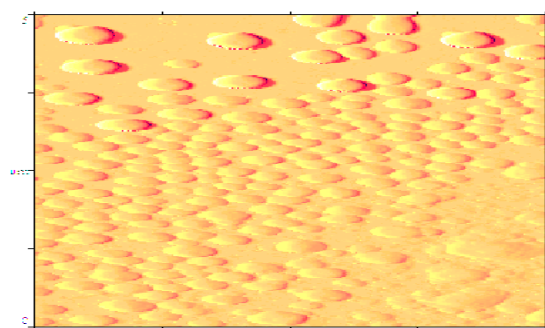
² Surface Plasmon Resonance

³ Magneto-Optic Surface Plasmon Resonance

Nd:YAG با طول موج ۵۳۲ نانومتر، زمان ۲ دقیقه و فرکانس ۱۰ هرتز تولید شده و توسط روش ذکر شده بر روی ساختار مگنتوپلاسمونی لایه نشانی شدند. طیف جذبی این نانوذار است به وسیله طیف سنج و تحریک با نور خروجی از لامپ هالوژن ثبت شده است (شکل ۱).



شکل ۱: طیف جذبی نانوذار هسته-پوسته Au@Co@Au و نانوذارات TiO_2 نموده نهایی در شکل ۲ قابل مشاهده است که تقریباً یک دست بودن نمونه ها را نشان می‌دهد.



شکل ۲: تصویر AFM از نمونه نهایی که شامل نانوذارت TiO_2 و هسته-پوسته های Au@Co@Au است.

همانطور که در شکل ۳ نشان داده شده برای تحریک SPP از چیدمان کرشنمن استفاده شده است. ترکیب منشور، نمونه و محفظه ای که برای حسگری تعییه شده است، روی یک چرخاننده قرار می‌گیرد. پلاسمون های سطحی توسط تاباندن باریکه نور یک لیزر دیودی با قطبش P، توان ۵ میلی وات و طول موج ۶۳۵ نانومتر به مرز نمونه/منشور برانگیخته می‌شوند. نور بازتاب شده توسط آشکارساز جمع آوری می‌گردد. برای اعمال مدولاسیون و بررسی خواص مگنتوپلاسمونی در حضور میدان مغناطیسی خارجی، یک جفت آهنربا از جنس نئودیمیوم با میدان ۱۱/۵ میلی تسللا به صورت عرضی یعنی عمود بر صفحه برخورد قرار داده شده اند. برای ورود

ثابت های مگنتوپاتیکی ماده (۶) را نشان می‌دهد. مولفه های میدان مغناطیسی اعمالی برای ماده فرومغناطیس هستند (فقط عبارت های خطی Π در نظر گرفته می‌شوند). اگر میدان مغناطیسی در جهت موازی با صفحه نمونه (XY) و عمود بر صفحه برخورد نور باشد (XZ)، تانسور دی الکترویک مطابق با رابطه (۲) خواهد بود:

$$\epsilon = \begin{pmatrix} \epsilon & 0 & a\Pi \\ 0 & \epsilon & 0 \\ -a\Pi & 0 & \epsilon \end{pmatrix} \quad (2)$$

در این چیدمان که کر عرضی نامیده می‌شود، المان مگنتوپاتیکی با مولفه ای از میدان الکترومغناطیسی جفت می‌شود که در صفحه برخورد قرار داشته باشد، به این معنی که فقط مولفه P نور تحت تاثیر میدان مغناطیسی خارجی قرار می‌گیرد، این در حالی است که مولفه S هیچ تغییری نمی‌کند. بنابراین، این چیدمان تغییری در قطبش ایجاد نمی‌کند ولی شدت نور بازتابی قطبش P را طبق رابطه (۳) تغییر می‌دهد.

$$\frac{\Delta R_{pp}}{R_{pp}} = \frac{R_{pp}(M) - R_{pp}(-M)}{2R_{pp}(0)} \quad (3)$$

که در آن، $R_{pp}(\pm M)$ بازتاب نور با قطبش P را برای دو حالتی که میدان مغناطیسی اعمالی در جهت و خلاف جهت مغناطش نمونه است، نشان می‌دهد و $R_{pp}(0)$ بیان کننده بازتاب در غیاب میدان می‌باشد.

۳- روش انجام کار و نتایج

نانوذارات هسته-پوسته Au@Co@Au با استفاده از روش کندگی لیزر پالسی در فاز مایع (LP-PLA) به صورت هم محلول آماده شده اند. در این روش، ابتدا نانوذرات طلا که به عنوان هسته مورد نظر بوده اند، توسط لیزر نئودیمیوم-یاگ (Nd:YAG) با طول موج ۵۳۲ نانومتر، زمان ۲ دقیقه و فرکانس ۵ هرتز تولید شده اند. پس از آن پوسته کبالتی با همان شرایط ولی با فرکانس ۲ هرتز تولید شد و در آخر هم پوسته طلا با شرایط مشابه هسته طلا بر روی آنها قرار گرفت. $10\text{ }\mu\text{m}$ از نانوذرات بر روی زیرلایه ای از جنس شیشه ریخته شده و به مدت ۹ دقیقه درون محفظه خلا با سرعت ۲۵ دور بر دقیقه چرخیدند. نانوذارات TiO_2 هم به روش LP-PLA با استفاده از لیزر

بر تاثیر عناصر غیر قطري تانسور دیالکتریک ماده فرومغناطیس، در زمان تحریک SPP و اعمال میدان، عامل دیگری هم باعث تغییرات بازتاب می‌شود. در حقیقت اعمال میدان مغناطیسی در جهت عمود بر انتشار SPPها، بردار موج SPP را مدوله می‌کند و این مدولاسیون نقش مهمی را در تغییرات بازتاب بازی می‌کند. مقایسه نتایج بدست آمده نشان می‌دهد که شبیه سینگنال $\Delta R_{pp}/R_{pp}$ نسبت به R بیشتر بوده و پنهانی منحنی آن کمتر است و در نهایت با قرار گرفتن در معرض گاز جابجایی زاویه ای بیشتری ($\Delta\theta \approx 0.74$) را تجربه می‌کند.

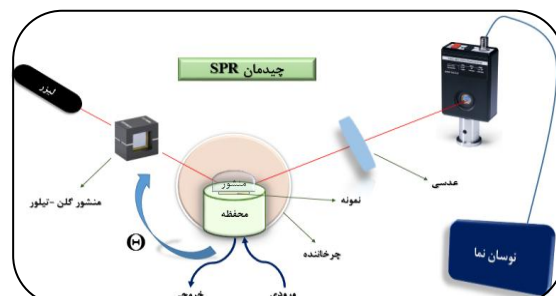
۴- نتیجه‌گیری

در این پژوهش پاسخ‌های حسگری بر پایه SPR و MOSPR ثبت شد که مقایسه نتایج آن‌ها نشان می‌دهد استفاده از ساختارهای مگنتوپلاسمونی و کنترل خواص آن‌ها با استفاده از اعمال میدان مغناطیسی باعث افزایش حساسیت حسگر می‌شود.

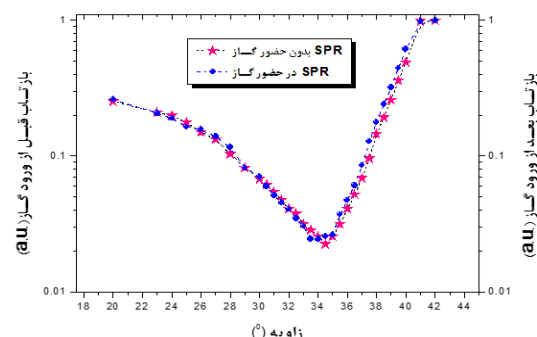
مراجع

- [1] J. N. Anker, W. P. Hall, O. Lyandres, N. C. Shah, J. Zhao, and R. P. Van Duyne, "Biosensing with plasmonic nanosensors," *Nat Mater*, vol. 7, pp. 442-453, 06/print 2008.
- [2] J. Homola, "Surface Plasmon Resonance Sensors for Detection of Chemical and Biological Species," *Chemical Reviews*, vol. 108, pp. 462-493, 2008/02/01 2008.
- [3] S. Hamidi, H. Goudarzi, and S. Sadeghi, "Surface Plasmon Resonance Magneto-Optical Kerr Effect in Au/Co/Au Magneto-Plasmonic Multilayer," *Journal of Superconductivity and Novel Magnetism*, vol. 28, pp. 1565-1569, 2015.
- [4] M. G. Manera, G. Montagna, E. Ferreiro-Vila, L. Gonzalez-Garcia, J. R. Sanchez-Valencia, A. R. Gonzalez-Elipe, et al., "Enhanced gas sensing performance of TiO₂ functionalized magneto-optical SPR sensors," *Journal of Materials Chemistry*, vol. 21, pp. 16049-16056, 2011.
- [5] D. Regatos, D. Fariña, A. Calle, A. Cebollada, B. Sepúlveda, G. Armelles, et al., "Au/Fe/Au multilayer transducers for magneto-optic surface plasmon resonance sensing," *Journal of Applied Physics*, vol. 108, p. 054502, 2010.
- [6] B. Sepúlveda, P. C. Angelomé, L. M. Lechuga, and L. M. Liz-Marzán, "LSPR-based nanobiosensors," *Nano Today*, vol. 4, pp. 244-251, 6// 2009.
- [7] A. K. Zvezdin and V. a. c. A. Kotov, *Modern magneto optics and magneto optical materials* vol. Chapter 3. CRC Press, 1997.

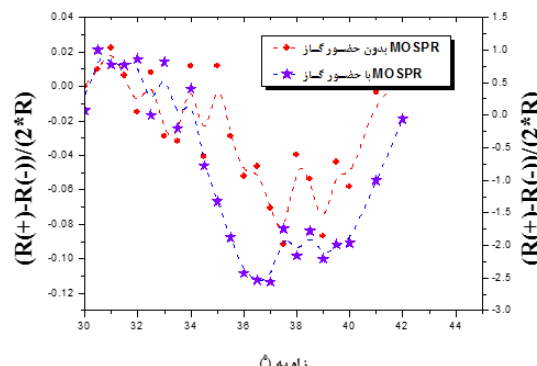
بخارات اتانول به محفظه از روش حباب‌دهی استفاده شده است. در این روش هوای خشک با شار ۱/۵ لیتر بر دقیقه به مدت ۱ دقیقه وارد ۲۵۰ میلی لیتر اتانول می‌شود.



شکل ۳: چیدمان تشذید پلاسمون سطحی پاسخ حسگری SPR و MOSPR نمونه، قبل و بعد از ورود بخارهای اتانول به محفظه ثبت شده است (شکل ۴ و ۵).



شکل ۴: پاسخ SPR نمونه در حضور و عدم حضور بخارهای اتانول



شکل ۵: پاسخ MOSPR نمونه در حضور و عدم حضور بخارهای اتانول

با بررسی وابستگی زاویه ای $\Delta R_{pp}/R_{pp}$ مشاهده می‌شود که اگر SPP تحریک نشود، $\Delta R_{pp}/R_{pp}$ به دلیل تغییرات میدان الکترومغناطیس که ناشی از عناصر غیر قطري تانسور دیالکتریک ماده فرومغناطیس است، وابستگی زاویه‌ای آرامی دارد. اما زمانی که SPP ها تحریک می‌شوند، افزایش شدیدی را در $\Delta R_{pp}/R_{pp}$ خواهیم داشت. شکل منحنی ایجاد شده، نشان می‌دهد که علاوه